

**Fachhochschule
Bonn-Rhein-Sieg
University
of Applied Sciences**

Studiengang: Master of Science in Computer Sciences
Fach: Parallel Algorithms
Betreut durch: Prof. Dr. Berrendorf
Referentin: Dagmar Schmitz

Kantenfärbung bei Partiellen k-Trees
Edge-Coloring Partial k-Trees

1. Einleitung

1.1. Allgemeine Problemstellung

Der Regelfall der Kantenfärbung eines Graphen besteht darin, jeder an den selben Knoten angrenzenden Kante eine unterschiedliche Farbe zuzuweisen, dabei jedoch, den Graphen als Ganzes betrachtet, nur die minimal mögliche Anzahl an Farben zu verwenden. Es handelt sich demnach um ein kombinatorisches Problem.

Zu diesem Problem existieren viele unterschiedliche Lösungen, die zu einem großen Teil auf heuristischen Verfahren beruhen. Einige, wie z.B. „Simulated Annealing“^{*} benutzen eine Perturbationsfunktion, die ähnlich wie ein evolutiver genetischer Algorithmus eine Verbesserung des Ergebnisses durch schrittweise zufällige Modifikationen erreicht, dabei insgesamt jedoch nach dem „trial and error“ (Versuch und Irrtum)-Prinzip vorgeht. Der Vorteil einer solchen Funktion ist es, daß sie auf die unterschiedlichsten Typen von Graphen erfolgreich angewendet werden kann.^{**} Der Nachteil solcher Verfahren ist es jedoch, daß die hohe Komplexität (meist gleich dem Produkt aus Knoten- und Kantenzahl bei „einfachen“^{***} Graphen) eine große Rechenzeit mit sich bringt, und ein optimales Ergebnis, d.h. die Übereinstimmung der minimal nötigen Farbenzahl mit der Zahl der tatsächlich vergebenen Farben, nicht in jedem Fall garantieren kann.

Einige Autoren gehen daher den Weg, maßgeschneiderte Lösungen für Spezialfälle von Graphen zu konstruieren. Solche Spezialfälle enthalten immer ein limitierendes Element, meist eine Beschränkung des maximalen Grades Δ des Graphen.

^{*} meines Wissens nach existiert keine adäquate deutsche Übersetzung dieses Fachterminus. „Annealing“ ist ein Begriff aus der Metallverarbeitung und bezeichnet das schrittweise Ausglühen eines Arbeitsstückes - „stählen“ in der figurativen Übersetzung.

^{**} ENOCHS & WAINWRIGHT 2001[2] geben 62 verschiedene Graphen unterschiedlicher Komplexität an, auf welche der von ihnen entwickelte lineare Algorithmus erfolgreich angewendet wurde. Im „worst case“, einem vollständigen Graphen mit 200 Knoten und 19900 Kanten, benötigte „Modified Simulated Annealing“ 174191 Iterationen bei 3341 sec. Laufzeit auf einem Intel Pentium III 700Mhz Prozessor.

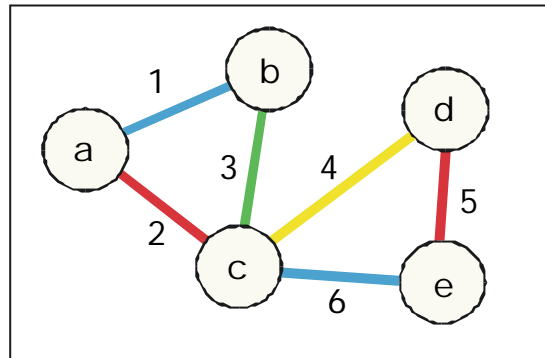
^{***} „Einfach“ (simple) bedeutet hier, daß zwischen zwei adjazenten Knoten des Graphen nur eine einzige (gerichtete) Kante existiert. Außerdem darf es keine Rückkanten („self-loops“) zum Knoten selbst geben. Das Gegenbeispiel ist ein sog. Multigraph, der beides – Rückkanten und Mehrfachkanten- enthalten kann.

1.2.Sonderfälle von Graphen

ZHOU ET AL.1994[1] schreiben, daß sehr viele effiziente Lösungen für kombinatorische Probleme auf sog. partiellen k-trees und seriell-parallelen Multigraphen beruhen. Der Grund hierfür liegt in der Beschränkung der gültigen Subgraphen („forbidden subgraphs“) bei diesen beiden Graphentypen.

Am Beispiel eines einfachen Graphen G mit 5 Knoten und 6 Kanten wird der Zusammenhang klar:

Abb.1: Kantenfärbung und Graph-Partitionierung



Tab.1: Farbtabelle

Kante	1	2	3	4	5	6
Farbe	3	1	2	4	1	3

Die eingefärbten Kanten lassen sich folgendermaßen in 4 Sets (E_1 - E_4) einteilen:

$$M = \{E_1 = \{1,6\}; E_2 = \{2,5\}; E_3 = \{3\}; E_4 = \{4\}\}$$

Die Menge aller Kanten E in G ist somit in 4 Untermengen E_i von jeweils nicht-adjazenten Kanten (Kanten, die sich nicht denselben Knoten als Endpunkt teilen) aufgeteilt. Jede Kante $e \in E - E_i$ (eine Kante, die nicht in der betrachteten Untermenge enthalten ist) muß dabei an eine in E_i enthaltene Kante angrenzen. Ist diese Bedingung erfüllt, spricht man von einem „**Maximal Matching**“.

Der chromatische Index $X'(G)$, welcher die minimal mögliche Anzahl an verschiedenen Farben zur Kantenfärbung eines Graphen G angibt, entspricht demzufolge auch der Anzahl der Untermengen: 4 Untermengen, 4 Farben.

Auch die mit den Kanten verbundenen Knoten des Beispielgraphen können so in 4 Sets partitioniert werden:

$$V_1 = \{a,b,c,e\}; V_2 = \{a,c,d,e\}; V_3 = \{b,c\}; V_4 = \{c,d\};$$

Die Anzahl der Zusammenhangskomponenten in jedem durch die Partition erzeugten Subgraphen entspricht dabei der Anzahl der in ihnen enthaltenen Kanten. (Die Kanten einer Menge in dieser Partition tragen jeweils die gleiche Farbe.)

Bei dem verwendeten Beispielgraphen ist die optimale Lösung für das Kantenfärbungsproblem intuitiv ersichtlich, doch schon bei nur wenigen Kanten (und Knoten) mehr beginnen die Schwierigkeiten. Wie gezeigt liegt dem Problem der Kantenfärbung ein Partitionierungsproblem zugrunde. Und, um auf den oben angekündigten Zusammenhang zurückzukommen: Je mehr mögliche Partitionierungen eines Graphen von vorneherein ausgeschlossen werden können („forbidden subgraphs“), desto einfacher gestaltet sich der Weg zu einer optimalen Partitionierung.

Nach ZHOU ET AL, 1994[1] existieren bereits einige effiziente Algorithmen für die genannten Sondertypen von Graphen. Ihre Charakteristika sind in der folgenden Tabelle zusammengefaßt:

Tab2: Eigenschaften von ausgewählten Kantenfärbungs-Algorithmen:

Lösungen zur Kantenfärbung bei speziellen Graphentypen							
Autor	Lösung	Typ Algorithmus	"Komplexität" Graph	Anzahl Farben	Komplexität Algorithmus	Komplexität Algorithmus für 3-trees	Anzahl Prozessoren
Diverse	vollständig	sequentiell	"simple"	$\Delta+1$	$O(m \cdot n)$	$O(m \cdot n)$	1
Terada & Nishizeki	partiell	sequentiell	"series-parallel simple Graph" = partial 2-tree	Δ oder $\Delta+1$	$O(n^2)$	$O(n^2)$	1
Zhou et al.	partiell	sequentiell	"series-parallel Multigraph"	Δ oder $\Delta+1$	"linear"	"linear"	1
Bodlaender	partiell	sequentiell	"partial k-tree"	Δ oder $\Delta+1$	$O(n(\Delta+1)^2 \cdot k^{k+1})$	$O(n^{2k})$	1
Zhou et al.	vollständig	sequentiell	"partial k-tree"	$X(G)$	"linear"	$O(n)$	1
Zhou et al.	optimal	parallel	"partial k-tree" mit "tree decomposition"	$X(G)$	logarithmisch	$O(\log n)$	$O(n/\log n)^{**}$
Zhou et al.	optimal	parallel	**"tree decomposition" von G für $treewidth(G) \leq k$		logarithmisch	$O(\log^2 n)$	$O(n/\log n)^{**}$

"simple" Graph: ohne Mehrfachkanten und "self-loops"; Multigraph: mit Mehrfachkanten/"self-loops" **CREW PRAM

Im Folgenden wird die Entwicklung der optimalen Problemlösung für partielle k-Trees (partial k-Trees), zunächst mit einem seriellen, dann mit einem auf Ersterem basierenden parallelen Algorithmus nach ZHOU ET AL, 1994[1] beschrieben.

1.3. Die Eigenschaften von partiellen k-Trees

Bei einem k-Tree ist die Breite jedes Knotens, d.h. die Anzahl der Kanten zu seinen Nachbarn, durch den Faktor k festgelegt. (Ein vollständiger Graph mit k Knoten ist somit immer ein k-Tree). Der Grad eines Graphen ist entsprechend gleich dem Maximum aller Breiten seiner Knoten. Bei einem partiellen k-Tree entspricht k der *maximalen* Breite, d.h. von einem Knoten können auch weniger als k Kanten ausgehen, auf keinen Fall jedoch mehr. Daraus folgt, daß ein partieller k-Tree ein Subgraph eines k-Trees ist, und daß die Anzahl der in ihm enthaltenen Knoten kleiner als das Produkt von k und der Anzahl der Kanten ist:

$$|E| < kn^*$$

Die folgenden Abbildungen zeigen Beispiele:

Abb.2: Entwicklung eines 3-Trees

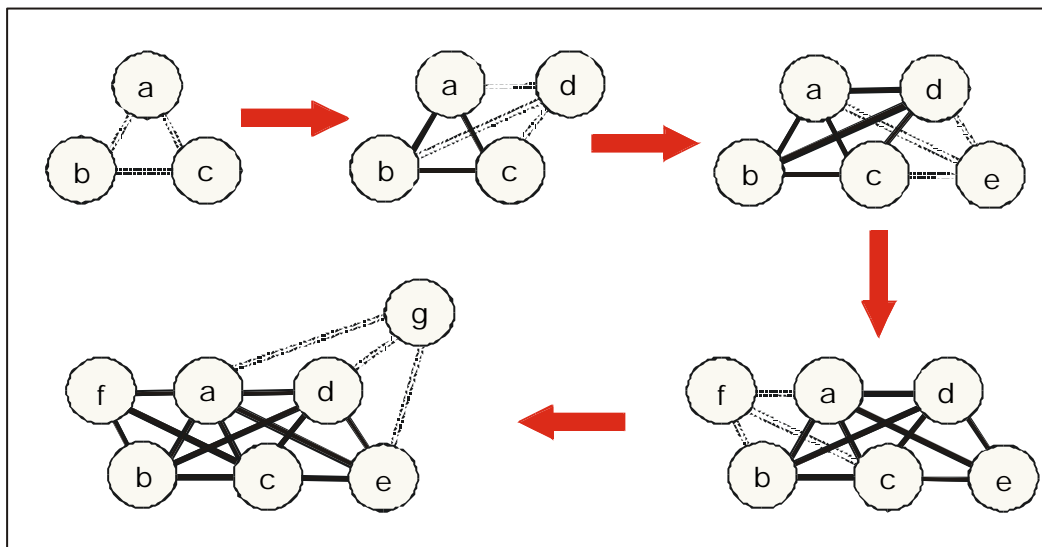
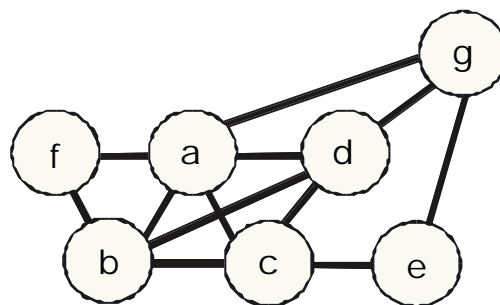


Abb.3: Ein partieller 3-Tree



* Formeln und Abkürzungen siehe Anhang

2. Hauptteil

2.1. Tree-Decomposition: Der Weg zur idealen Partitionierung eines k-Trees

Um die Partitionierung des Graphen in der oben genannten Weise durchzuführen, bedient man sich einer Baumstruktur, deren Knoten (X_1, X_2, X_3 usw.) jeweils eine Untermenge von Knoten aus G repräsentieren und in hierarchischer Beziehung zueinander stehen.

Das Ergebnis der Zerlegung eines k-Trees $G = (V, E)$ in eine solche „Tree-Decomposition“ $T = (V_T, E_T)$ muß für die Untermenge V_T der Knotenmenge V folgende Bedingungen erfüllen:

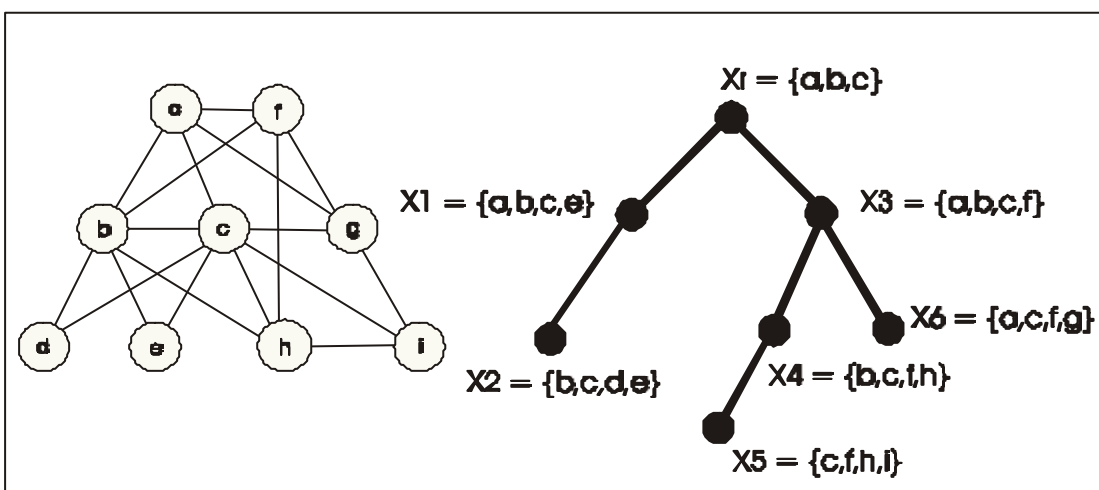
- a) Die Vereinigung aller Knoten-Untermengen X_1-X_j ergibt wieder V
- b) für jede Kante $e = (v, w) \in E$ existiert ein Knoten X_i , welcher v und w enthält
- c) wenn ein Knoten X_2 auf einem Weg in T zwischen X_1 und X_3 liegt, so ergibt die Schnittmenge von X_1 und X_3 wieder den Knoten X_2 oder ist zumindest eine Teilmenge von ihm.

Aus den Eigenschaften eines k-Trees ergeben sich einige wichtige Eigenschaften für eine Tree-Decomposition:

- I) Die Breite einer Tree-Decomposition $T = (V_T, E_T)$ ist maximal $= \max |X_i| - 1$.
- II) Die „Baum-Breite“ (Tree-Width) eines Graphen G ist gleich der minimalen Breite seiner Tree-Decomposition, gerechnet über alle möglichen verschiedenen Dekompositionen von G .
- III) **Da jeder Graph G mit einer maximalen Breite von k ein partieller k-Tree ist, (Begründung s.o.) folgt, daß jede Tree-Decomposition von G eine Breite $\leq k$ besitzt.**

Die folgende Abbildung illustriert eine solche Tree-Decomposition:

Abb.4: Tree-Decomposition eines partiellen 4-Trees:



2.2. Tree-Decomposition: Der Algorithmus von Bodlaender

Der in Tabelle Nr. 2 aufgeführte sequentielle Algorithmus von BODLAENDER1992[3] erzeugt eine Tree-Dekomposition eines Graphen für festgelegte k . Man beachte, daß k hierbei *nicht* der maximalen Breite des Graphen entspricht, sondern der maximalen Breite der gewünschten Tree-Decomposition des Graphen. Durch geeignete Wahl von k kann dieses Verfahren die Partitionierung so vornehmen, daß die Anzahl der erzeugten Untermengen (die nur nicht-adjazente Kanten enthalten dürfen) gleich dem chromatischen Index X' von G ist. (Dazu im folgenden Abschnitt mehr.) Hier eine kurze Skizze der Funktionsweise:

BODLAENDER:

Graph $G (V,E)$

begin

if Treewidth (G) $> k$ (i.e. $\xi E \xi \quad k * \xi V \xi - \frac{1}{2}k*(k+1)$) **then**

stop

else

if Treewidth (G) $\leq k$ **then**

begin

find a tree-decomposition of G with width $\leq k$;

begin

1 count the number of friendly vertices N

if $N \leq \xi V \xi / (4k^2 + 12k + 16)$ **then**

2 find a maximal matching $M \subseteq E$ in G

3 compute $G' (V', E')$ by contraction of every edge $e \in M$

4 Rekursion: BODLAENDER (G')

if Treewidth (G') $> k$ **then stop** // weil G dann auch größer als k ist

else output G'

else 5 compute the improved graph of G^*

6 Rekursion: BODLAENDER (improved G)

end

friendly vertices:

Der Knotengrad-Faktor d errechnet sich aus: $d = k^2 + 4k + 4$. Jeder Knoten mit einem Grad kleiner gleich d ist ein *low degree vertex*, andernfalls ein *high degree vertex*. Ein Knoten ist *friendly*, „freundlich“, wenn er selbst ein *low degree vertex* ist und an mindestens einen anderen *low degree vertex* angrenzt.

contraction:

Eine *contraction*-Operation entfernt zwei adjazente Knoten v, w und ersetzt sie durch einen einzigen neuen Knoten, der zu allen Knoten adjazent ist, die zuvor adjazent zu v und w waren.

* Bodlaenders Algorithmus zur Graphenverbesserung beruht auf einer Zuweisungsoperation auf den Knoten des Graphen in Stacks und Queues, auf welche dann mehrere Sortierverfahren angewendet werden. Eine detailliertere Ausführung des Verfahrens ist an dieser Stelle leider nicht möglich.

2.3. Tree-Decomposition: Der sequentielle Algorithmus von Zhou et al.

Laut ZHOU ET AL. 1994[1] arbeitet Bodlaenders Algorithmus angewendet auf das Problem der Kantenfärbung nur dann effizient, wenn $\chi(G)$ kleiner ist als $6k$ (siehe Tabelle Nr.2).

Für $\chi(G) \leq 6k$ geben ZHOU ET AL. 1994[1] zunächst einen sequentiellen (*linear time*) Algorithmus an, der dann in einem weiteren Schritt in einen parallelen Algorithmus umgewandelt wird.

Die Grundidee dabei ist es, in einem solchen Fall den Graphen $G(V, E)$ in mehrere Subgraphen G_1, G_2, \dots, G_s umzuwandeln, so daß die Summe der chromatischen Indices der Subgraphen den chromatischen Index des Ursprungsgraphen ergibt:

$$\chi(G) = \sum_{j=1}^s \chi(G_j) \text{ für } \chi(G) \leq 6k$$

Für die Partition E_1, E_2, \dots, E_s der Kantenmenge E von G gelte folgendes:

c sei eine feste Positive Konstante. E_1, E_2, \dots, E_s ist eine (χ, c) -Partition von E wenn für den Untergraphen G_j , erzeugt aus $G[E_j]$ ($1 \leq j \leq s$) gilt:

- $\chi(G) = \sum_{j=1}^s \chi(G_j)$ // Der Grad von G entspricht der Summe der Grade seiner Subgraphen
- $\chi(G_j) = c$ für alle $j, 1 \leq j \leq s-1$ und $\chi(G_s) < 2c$ // Grad (Subgraph) = c

Wählt man nun $c = 3k$ so ergibt sich: $\chi(G_j) < 2c = 6k$ und, durch eine Folgerung aus dem Satz von Vizing: $\chi(G) = \sum_{j=1}^s \chi(G_j)$

Das Theorem von Vizing wurde bereits im einleitenden Vortrag zu dieser Reihe vorgestellt, hier nur eine kurze Wiederholung:

Vizing's Theorem: $\chi(G) = \Delta(G)$ oder $\Delta(G) + 1$ *

Spruch: Der chromatische Index eines Graphen entspricht dessen maximalem Grad (evtl. +1, nach ZHOU ET AL. 1994[1] jedoch nicht für Graphen mit $\chi(G) > 6k$).

Somit läßt sich mit Hilfe der (χ, c) -Partition der chromatische Index des Graphen G bestimmen!

Hier der auf diesem Prinzip beruhende, in linearer Zeit berechenbare sequentielle Algorithmus:

EDGE-COLOR(G)

begin

if $\chi(G) < 6k$ **then**

begin

- find a tree-decomposition of G with width $\leq k$; // siehe BODLAENDER
- find an edge-coloring of G with $\chi(G)$ colors;

end

else

begin

- find a $(\chi, 3k)$ -partition E_1, E_2, \dots, E_s of E ;
- find tree-decompositions of G_1, G_2, \dots, G_s with widths $\leq k$;
- find an edge-coloring of G_j with $\chi(G_j) = \chi(G_j)$ colors for each $j, 1 \leq j \leq s$;
- extend these edge-colorings of G_1, G_2, \dots, G_s to an edge-coloring of G with $\chi(G) = \chi(G)$ colors;

* Auch: $\chi(G) = \Delta(G)$ oder $\Delta(G) + 1$

end
end.

Wie wird nun diese $(\lceil c/3k \rceil, 3k)$ -Partitionierung der Kantenmenge E durchgeführt?

$(\lceil c/3k \rceil, c)$ -Partition einer Kantenmenge E aus einer Partition (S_1, S_2, \dots, S_l) von einer Knotenmenge V .

Die Partitionierung von V wird so durchgeführt, daß für jede Kante v aus einer beliebigen Untermenge S_i ($1 \leq i \leq l$) gilt:

backward edges (E_b): $E_b(v, G) = \{(v, w) \in E \mid w \in S_j \text{ und } j < i\}$,

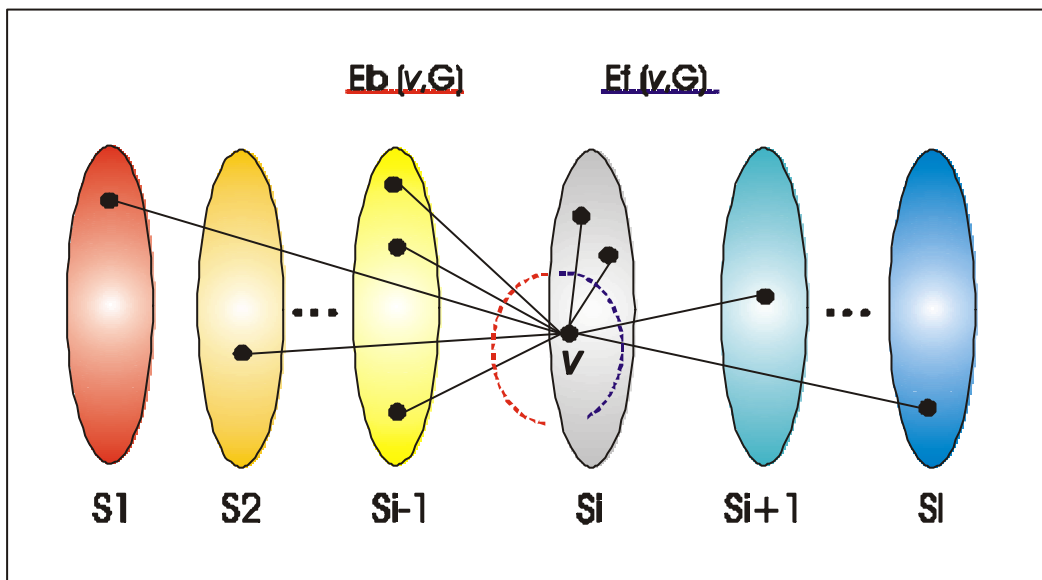
forward edges (E_f): $E_f(v, G) = \{(v, w) \in E \mid w \in S_j \text{ und } j > i\}$,

backward degree (d_b): $d_b(v, G) = |E_b(v, G)|$,

forward degree (d_f): $d_f(v, G) = |E_f(v, G)|$.

$\Rightarrow d(v, G) = d_b(v, G) + d_f(v, G)$! (siehe Abb.5)

Abb.5: Partitionierung der Knotenmenge V von G



Die erzeugte Knoten-Partition S_1, S_2, \dots, S_l wird (d_f, c) -Partition genannt, wenn für jeden Knoten v aus v gilt:

$$d_f(v, G) \leq c, \text{ wobei } c \text{ eine Konstante ist.}$$

Durch die Wahl von $c = 3k$ kann nun aus der (d_f, c) -Knoten-Partition eine $(\lceil c/3k \rceil, 3k)$ -Kanten-Partition hergestellt werden.

EDGE-PARTITION (G)

(Voraussetzung: $G = (V, E)$ ist ein partieller k-Tree mit maximalem Grad $\Delta \leq \infty 6k$)**begin**

```

1   find a  $(\Delta, 3k)$ -vertex-partition  $S_1, S_2, \dots, S_l$  of  $V$ ; // siehe vorherige Seite
2    $s := \lceil \Delta/3k \rceil$ ; //  $s =$  Anzahl der Untermengen  $E_i$ 
3   for each  $v \in V$  do
4     begin
5       number the backward edges in  $E_b(v, G)$  from 1 to  $d_b(v, G)$ ;
6       let  $E_b(v, G) = \{e_{vq} \mid 1 \leq q \leq d_b(v, G)\}$ 
7     end;
8     for each  $j, 1 \leq j \leq s$ , do  $E_j := \emptyset$ ; // Initialisiere Kanten-Sets  $E_j \subseteq \emptyset$ 
9     for each  $v \in V$  do  $p(v) := \lfloor d_b(v, G)/3k \rfloor$ ; //  $p(v) \leq s$ 
    // Konstruiere  $E_1, E_2, \dots, E_{s-1}$ 
10    for each  $v \in V$  and each  $j, 1 \leq j \leq \min\{p(v), s-1\}$ , do
11       $E_j := E_j \cup \{e_{vq} \in E_b(v, G) \mid \xi 3k(j-1) < q \leq 3kj\}$ ;
// weise  $E_j$  genau  $3kj$  backward-edges, die an Knoten  $v$  grenzen, zu, so daß  $d_b(v, G[E_j]) = 3kj$ 
// obwohl eventuell  $d_f(v, G[E_j]) > 0$  und somit  $d(v, G[E_j]) = d_f(v, G[E_j]) + d_b(v, G[E_j]) > 3kj$ 
12    for each  $v \in V$  with  $p(v) = s-2$  do
13       $E_{p(v)+1} := E_{p(v)+1} \cup \{e_{vq} \in E_b(v, G) \mid 3k(p(v)+1) < q \leq d_b(v, G)\}$ ;
    // weise  $E_{p(v)+1}$  die restlichen backward edges an Knoten  $v$  zu, so daß
    //  $d_b(v, G[E_{p(v)+1}]) < 3k$ 
    // passe  $d(v, G[E_j])$  so an, daß  $3kj$  nicht überschritten werden
14    for  $i := 1$  downto 1 do
15    for each  $v \in S_i$  and each  $j, 1 \leq j \leq s-1$ , do
    //  $d(v, G[E_j]) \leq 3kj - d_b(v, G[E_j])$ 
16    if  $d(v, G[E_j]) > 3kj$  then
17      delete  $d(v, G[E_j]) - 3kj$  backward edges in  $E_b(v, G[E_j])$  from  $E_j$ 
    //  $d(v, G[E_j]) = 3kj - \tau \cdot (G[E_j]) \leq 3kj$ 
18     $E_s := E_j \cup E_1 \cup E_2 \cup \dots \cup E_{s-1}$  // Erzeuge  $E_s$ 
end

```

2.4. Kantenfärbung: Der parallele Algorithmus von Zhou et al.

In ihrem Artikel „Edge Coloring Partial k-Trees“ geben ZHOU ET AL. 1994[1] keine konkrete Implementierung für einen parallelen Kantenfärbungs-Algorithmus an, zeigen jedoch, daß sowohl die Knoten-Partitionierung als auch der Algorithmus EDGE-PARTITION und die darauf folgende Durchführung der Tree-Decomposition für einen Graphen mit Kantenzahl n auf $n/\log n$ Prozessoren mit einer Zeitkomplexität von $O(\log n)$ für CREW-PRAM ausgeführt werden kann.

a) Kanten-Partitionierung (Vertex-Partitioning)

Da für die Anzahl l der (d_b, c) -Knoten-Partition S_1, S_2, \dots, S_l aus G gilt: $l = O(\log n)$, kann die Partitionierung in $O(n)$ Zeitkomplexität bei $O(\log n)$ paralleler Rechenzeit ausgeführt werden:

```

begin
  i := 0; // O(1)
  while V(G) !  $\emptyset$  do // V(G) not empty // O(log n)
    begin
      i := i+1;
       $S_i := \{v \in V(G) \mid d(v, G) \leq 3k\}$ ;
       $V(G) := V(G) - S_i$ ;
    end
  l := i; // O(1)
end.

```

Die Operationen innerhalb der while-Schleife können auf $l = \log n$ Prozessoren parallel ausgeführt werden.

b) EDGE-PARTITION

Betrachtet man den Algorithmus EDGE-PARTITION genauer, so stellt man fest, daß sämtliche Operationen in $O(\log n)$ oder $O(1)$ paralleler Rechenzeit ausgeführt werden können, wobei die Gesamtkomplexität der Operationen gleich $O(n)$ ist:

```

begin
  1   find a  $(d_b, 3k)$ -vertex-partition  $S_1, S_2, \dots, S_l$  of  $V$ ; // O(log n) s. oben
  2    $s := \lfloor n/3k \rfloor$ ; // O(1) lineare Zeit pro Prozessor

  3   for each  $v \in V$  do // for-Schleife: O(log n)
  4   begin
  5       number the backward edges in  $E_b(v, G)$  from 1 to  $d_b(v, G)$ ;
  6       let  $E_b(v, G) = \{e_{vq} \mid 1 \leq q \leq d_b(v, G)\}$ 
  7   end;

  8   for each  $j, 1 \leq j \leq s$ , do  $E_j := \emptyset$ ; // O(1) lineare Zeit pro Prozessor

  9   for each  $v \in V$  do  $p(v) := \lfloor d_b(v, G)/3k \rfloor$ ; //  $p(v) \leq s$ 
      // O(1) lineare Zeit pro Prozessor

  10  for each  $v \in V$  and each  $j, 1 \leq j \leq \min\{p(v), s-1\}$ , do // for-Schleife: O(log n)
  11   $E_j := E_j \cup \{e_{vq} \in E_b(v, G) \mid 3k(j-1) < q \leq 3kj\}$ ;
  12  for each  $v \in V$  with  $p(v) \geq s-2$  do
  13   $E_{p(v)+1} := E_{p(v)+1} \cup \{e_{vq} \in E_b(v, G) \mid 3kp(v) < q \leq d_b(v, G)\}$ ;

  14  for  $i := 1$  downto 1 do // O(log n) da  $l = (\log n)$  durch  $d(v, G \setminus [E_j]) \leq 6k$ 
  15  for each  $v \in S_i$  and each  $j, 1 \leq j \leq s-1$ , do // O(1) da  $d(v, G \setminus [E_j]) \leq 6k$ 

```

```

16  if  $d(v, G[E_j]) > 3k$  then //  $O(1)$  da  $d(v, G[E_j]) \leq 6k$ 
17  delete  $d(v, G[E_j]) - 3k$  backward edges in  $E_b(v, G[E_j])$  from  $E_j$  //  $O(1)$  s.15/16
    //  $d(v, G[E_j]) = 3k \rightarrow (G[E_j]) \leq 3k$ 
18   $E_s := E_j - E_1 - E_2 - \dots - E_{s-1}$  //  $O(1)$  lineare Zeit pro Prozessor

```

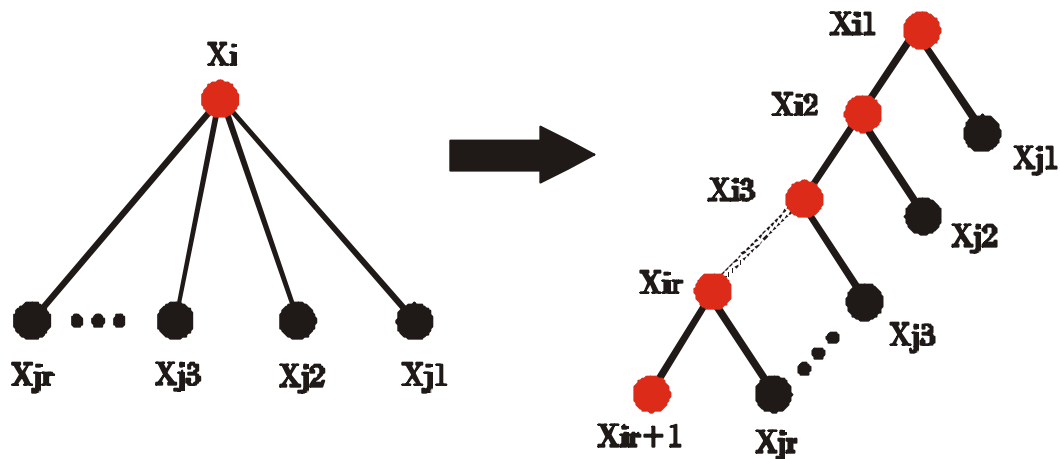
end

c) Tree-Decomposition

Angenommen E sei eine Partition eines partiellen k -Trees G mit Breite $\leq 6k$. Aus dieser Partition wird nun die erste Untermenge der Partition als Wurzelknoten ausgewählt, und wie in der untenstehenden Abbildung als Wurzelknoten X_i eines Baumes T benutzt, wobei die restlichen Mengen die Blätter bilden.

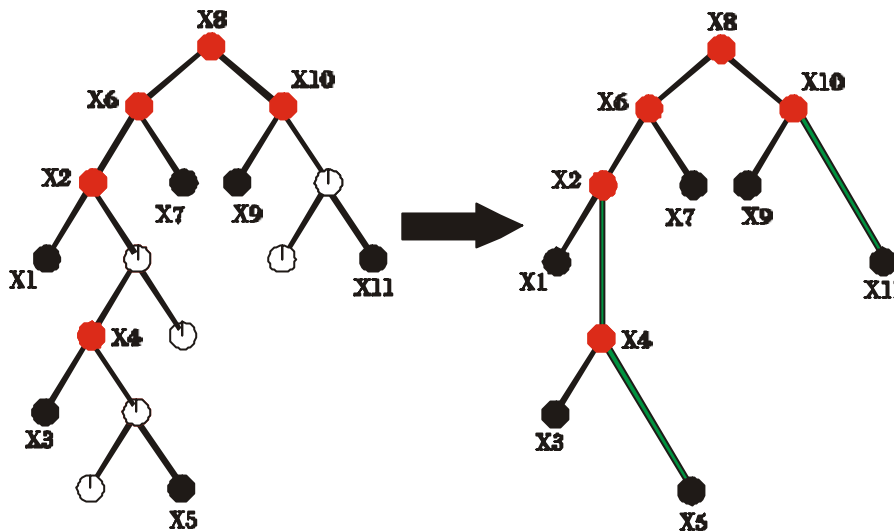
T kann nun, wie im folgenden Schaubild zu sehen, in einen Binärbaum T_b umgewandelt werden, wozu $O(n)$ Operationen in $O(\log n)$ paralleler Zeit benötigt werden:

Abb.6: Binärbaum-Transformation eines Graphen



X_{i1} bis X_{ir} sind dabei Kopien des ursprünglichen Wurzelknotens X_i . Bei dieser Transformation wird die Ausgangsbreite, die ja kleiner gleich k sein muß, nicht überschritten. In einem weiteren Schritt wird der so erzeugte Graph vereinfacht: Und zwar werden alle Kopien eines Knotens X_i , die sich in der Baumstruktur auf tieferen Ebenen als X_i selbst befinden (in der folgenden Abbildung durch weiße Kreise dargestellt), gelöscht, so daß letztendlich eine Tree-Decomposition entsteht, die den in den vorherigen Kapiteln genannten Regeln entspricht.

Abb.7: Transformation eines Binärbaumes in eine Tree-Decomposition



Da die Anzahl der verwendeten ursprünglichen Knoten einer Komplexität von $O(n)$ entspricht, können die gezeigten Transformationen in $O(\log n)$ paralleler Rechenzeit ausgeführt werden, wobei die Suche nach dem höchsten gemeinsamen Vorfahren gleichen Inhaltes ebenfalls eine Komplexität von $O(\log n)$ besitzt.

d) EDGE-COLOR

Schlußendlich muß noch gezeigt werden, daß die Komplexität des finalen Algorithmus EDGE-COLOR ebenfalls jene der bereits abgehandelten Operationen nicht übersteigt:

EDGE-COLOR(G)

```

begin
  if  $\Psi(G) < 6k$  then // für den betrachteten Fall nicht relevant da  $\Psi(G) \infty 6k$ 
    begin
      1 find a tree-decomposition of G with width  $\lceil k \rceil$ ; // siehe BODLAENDER
      2 find an edge-coloring of G with  $X'(G)$  colors;
    end
  else begin
    3 find a  $(\Psi, 3k)$ -partition  $E_1, E_2, \dots, E_s$  of  $E$ ; // bereits gegeben, also  $O(1)$ 
    4 find tree-decompositions of  $G_1, G_2, \dots, G_s$  with widths  $\lceil k \rceil$ ;
      // bereits in Abschnitt c) gezeigt:  $O(\log n)$ 
    5 find an edge-coloring of  $G_j$  with  $X'(G_j) = \Psi(G_j)$  colors for each  $j, 1 \leq j \leq s$ ;
      // da  $\Psi(G_j) \leq 6k$  sein muß, besitzt diese Operation für  $n_j$  Knoten eine
      // Komplexität von  $O(\log n)$ 
    6 extend these edge-colorings of  $G_1, G_2, \dots, G_s$  to an edge-coloring of G with
       $X'(G) = \Psi(G)$  colors;
      // da  $\Psi(G_j) = \boxtimes (\Psi(G_j) \leq 6k)$  ist, besitzt diese Operation für  $n$  Knoten ebenfalls
      // eine Komplexität von  $O(\log n)$ 
  end
end
    
```

end.

Zusammenfassend läßt sich somit feststellen:

„Das Problem der Kantenfärbung eines k-Trees G kann in $O(\log n)$ paralleler Rechenzeit auf $O(n/\log n)$ Prozessoren bei gegebener Tree-Decomposition von G (mit einer Breite $\leq k$) gelöst werden.“

3. Zusammenfassung

Die gezeigten Algorithmen von BODLAENDER 1992 und ZHOU *ET AL.* 1994 unterscheiden sich stark hinsichtlich ihrer Anwendbarkeit. Bodlaenders Algorithmus löst Partitionierungs-, und damit verbunden auch Kantenfärbungs-Probleme bei einer Vielzahl von unterschiedlichen Graphentypen. Bei den Algorithmen Zhou et al. handelt es sich um maßgeschneiderte Lösungen für einen Spezialfall der Kantenfärbung, welche dabei in optimaler Rechenzeit sowohl sequenziell als auch parallel berechnet werden können. Eine weite Verbreitung dieser Lösungen wird jedoch dadurch garantiert, daß die Eigenschaften von k-Trees auf sehr viele Graphen zutreffen, die im „time-scheduling“, der Planung von Arbeitsabläufen in der Industrie, Verwendung finden. Bei sehr komplexen Arbeitsabläufen, z.B. aus der Verfahrenstechnik der chemischen Industrie, kann hier die Verwendung von parallel berechenbaren Algorithmen von entscheidender Bedeutung sein.

4. Literatur

BODLAENDER, H.L. „A linear time algorithm for finding tree-decompositions of small treewidth“ 1992, Archiv der Utrecht University, Department of Computer Science, Utrecht.

ENOCHS, B.P, WAINWRIGHT, R.L. „Forging“ optimal solutions to the edge-coloring problem“ 2001, Proceedings of GECCO 2001 San Francisco, CA, Morgan Kauffmann, pp. 313-319.

ZHOU, X., NAKANO, S.-I., NISHIZEKI, T. „Edge-coloring partial k-Trees“ 1996 Journal of Algorithms 21, 598-617 (1996) Article No. 0061

Abkürzungen und Zeichen	
Kürzel	Bedeutung
^	"hoch" (folgendes Zeichen ist Exponent)
^^	"hoch" (folgendes Zeichen ist Exponent eines Exponenten)
c	Konstante
$\chi(G)$	chromatischer Index von G
Δ	maximaler Grad
$\Delta(G)$	<i>maximum degree</i> (maximaler Grad) von G
$d(v)$	<i>degree</i> (Grad) eines Knotens v
$d(v, G)$	<i>degree</i> (Grad) eines Knotens v
e	Kante
$E(G)$	Kantenmenge von G
$E'(G)$	Teilmenge von $E(G)$
E_T	Kantenmenge von T
G	Graph
$G[E']$	Subgraph (Teilgraph) von G aus den Kanten von E'
i, j	ganzzahlige Werte
k	begrenzender Faktor für die "treewidth" eines Graphen
k-Tree	Graph mit einer durch k begrenzten (bounded) "tree-width" = vollständiger Graph mit k Knoten
m	Anzahl Kanten
n	Anzahl Knoten
partial k-Tree	Subgraph (Teilgraph) eines k-Trees
T	tree (Baum) aus Graph G
u, v	Knoten in G
$X_i, X_j, X_b, X_1,$...	Knoten in einer Tree-Decomposition von G
$V(G)$	Knotenmenge von G
$V'(G)$	Teilmenge von $V(G)$
V_T	Knotenmenge von T